

การออกแบบและสร้างเครื่องมือวัดค่าการปล่อยออกซิเจนและความร้อนแบบเครื่องทรงกลม

นาย สมศักดิ์ ระชังทอง



วิทยานิพนธ์นี้ เป็นส่วนหนึ่งของการศึกษาตามหลักสูตรปริญญาวิศวกรรมศาสตรมหาบัณฑิต

ภาควิชาวิศวกรรม เครื่องกล

บัณฑิตวิทยาลัย จุฬาลงกรณ์มหาวิทยาลัย

พ.ศ. 2531

ISBN 974-568-601-8

ลิขสิทธิ์ของบัณฑิตวิทยาลัย จุฬาลงกรณ์มหาวิทยาลัย

014140

๑๑๗ ๘๙๑๑๑๖

A DESIGN AND CONSTRUCTION OF HEMISPHERICAL THERMAL
EMISSIVITY MEASURING INSTRUMENT

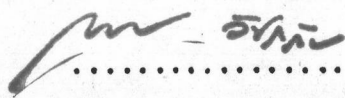
Mr. Somsak Rakangthong

A Thesis Submitted in Partial Fulfillment of the Requirements
for the Degree of Master of Engineering
Department of Mechanical Engineering
Graduate School
Chulalongkorn University

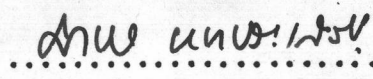
1988

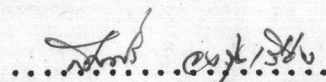
วิทยานิพนธ์เรื่อง การออกแบบและสร้างเครื่องมือวัดค่าการบล็อยอกรังสีความร้อนแบบครึ่ง
ทรงกลม
โดย นาย สมศักดิ์ ระหงทอง
ภาควิชา วิศวกรรม เครื่องกล
อาจารย์ที่ปรึกษา รองศาสตราจารย์ ดร. สมศรี จงรุ่งเรือง

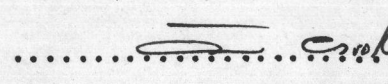
บัณฑิตวิทยาลัย จุฬาลงกรณ์มหาวิทยาลัย อนุญาตให้นับวิทยานิพนธ์ฉบับนี้ เป็นส่วนหนึ่ง
ของการศึกษาตามหลักสูตรปริญญามหาบัณฑิต

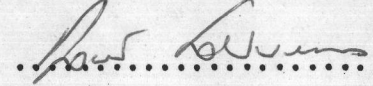

..... คณบดีบัณฑิตวิทยาลัย
(ศาสตราจารย์ ดร. ธรรม วงศารักษ์)

คณะกรรมการสอบวิทยานิพนธ์


..... ประธานกรรมการ
(รองศาสตราจารย์ ดร.มนีจิ ทองประเสริฐ)


..... อาจารย์ที่ปรึกษา
(รองศาสตราจารย์ ดร.สมศรี จงรุ่งเรือง)


..... กรรมการ
(รองศาสตราจารย์ ดร.วิทยา ยงเจริญ)


..... กรรมการ
(รองศาสตราจารย์ ดร.กุลธอร์ ศิลปบรรลง)



พิมพ์ต้นฉบับทัศนศึกษาอวิทยานิพนธ์ภายในกรอบสีเขียวนี้เพียงแผ่นเดียว

สมศักดิ์ ระชังทอง : การออกแบบและสร้างเครื่องมือวัดค่าการปล่อยอุ่นรังสีความร้อนแบบครึ่งทรงกลม (A DESIGN AND CONSTRUCTION OF HEMISPHERICAL THERMAL EMISSIVITY MEASURING INSTRUMENT) อ.ที่ปรึกษา : รศ.ดร.สมศรี จันรุ่งเรือง, ๑๒๒ หน้า.

วิทยานิพนธ์นี้ เป็นการออกแบบและสร้างเครื่องมือวัดค่าการปล่อยอุ่นรังสีความร้อนแบบครึ่งทรงกลมแล้วทำการทดลอง เพื่อทดสอบ เครื่องมือที่สร้างขึ้นโดยวัสดุที่ใช้ทดลองเป็นโลหะ ผลการทดลองที่ได้นำมาเปรียบเทียบกับค่าการปล่อยอุ่นรังสีความร้อนซึ่งได้จากการทดลอง เครื่องมือของต่างประเทศ

ผลการเปรียบเทียบค่าการปล่อยอุ่นรังสีความร้อนที่ได้จากการทดลอง เครื่องมือทั้งสอง ปรากฏว่า เครื่องมือวัดที่สร้างขึ้นมีค่าความผิดพลาดมากที่สุด 2.64% เมื่อเปรียบเทียบกับ เครื่องมือวัดของต่างประเทศที่อุณหภูมิเดียวทันต่อ ๖๐ องศาเซลเซียส

เมื่อongจาก เครื่องมือนี้สร้างขึ้น เป็นครั้งแรกจึงมีข้อบกพร่องค้างๆ และได้เสนอวิธีแก้ไข เพื่อเป็นประโยชน์ในการออกแบบสร้าง เครื่องมือในครั้งต่อไป

ภาควิชา ... วิศวกรรมเครื่องกล
สาขาวิชา ... วิศวกรรมเครื่องกล
ปีการศึกษา ... ๒๕๓๐

ลายมือชื่อนิสิต ... สมใจดี ๙๗๗๘
ลายมือชื่ออาจารย์ที่ปรึกษา ... ดร. อรุณรัตน์

พิมพ์ต้นฉบับนักศึกษาอวุฒานิพนธ์ภาษาไทยในกรอบสีเขียวเพียงแผ่นเดียว

SOMSAK RAKANGTHONG : A DESIGN AND CONSTRUCTION OF HEMISPHERICAL THERMAL EMISSIVITY MEASURING INSTRUMENT. THESIS ADVISOR : ASSO. PROF. SOMSRI CHONGRUNGREONG, Ph.D. 122 PP.

This test instrument was designed and constructed to measure the emissivity of thermal radiation of metal. The experimental was divided into two parts. Firstly, the emissivity of thermal radiation of metal was measured by the thermal emissivity measuring instrument which was produced by Devices and Services Co.,Ltd.,U.S.A. Secondly, the emissivity of thermal radiation was measured by the instrument designed and constructed by the researcher.

Then there was a comparison between the two results of the emissivity of thermal radiation. It was found that the result measured by the researcher's instrument had maximum error of 2.64 % whereas the other result was standard.

This thesis stated this error and explained the improvement of this instrument. Hopefully this thesis would be beneficial for future design and construction of the instrument to measure the emissivity of thermal radiation.

ภาควิชา วิศวกรรมเครื่องกล
สาขาวิชา วิศวกรรมเครื่องกล
ปีการศึกษา 2530

ลายมือชื่อนักศิษย์ พลเอก ๕-๒๔ กก๖
ลายมือชื่ออาจารย์ที่ปรึกษา พล.อ. ๙๗/๘๘

กิตติกรรมประกาศ

วิทยานิพนธ์ฉบับนี้สำเร็จลุล่วงไปได้ด้วยความช่วยเหลืออย่างดีเยี่ยมของรองศาสตราจารย์ ดร. สมศรี จรุงรุ่ง เรือง อาจารย์ที่ปรึกษาวิทยานิพนธ์พร้อมทั้งขอขอบพระคุณรองศาสตราจารย์ ดร. นาฎิจ ทองประเสริฐ และรองศาสตราจารย์ ดร. วิทยา ยงเจริญ ที่ให้คำปรึกษาเกี่ยวกับ วิทยานิพนธ์และเครื่องมือวัด และขอขอบคุณ คุณ จตุพล ยุวจันทร์ กรรมการผู้จัดการบริษัท วิศววิทย์ จำกัดที่ได้กรุณาให้ความอนุเคราะห์เครื่องมือวัดอุณหภูมิแบบดัวเลขเพื่อนำมาใช้ในงานวิจัย และเนื่องจากทุนการวิจัยครั้งนี้บางส่วนได้รับมาจากทุนอุดหนุนการวิจัยของบัณฑิตวิทยาลัย จึงขอขอบพระคุณบัณฑิต วิทยาลัยมา ณ ที่นี่ด้วย

ท้ายนี้ข้าพเจ้าต้องขอขอบพระคุณ มีด้า นารดาของข้าพเจ้าที่ทำได้ให้การสนับสนุนตลอดจนส่งเสริมให้ข้าพเจ้าได้มีโอกาสศึกษาจนสำเร็จการศึกษา

สารบัญ

	หน้า
บทที่ดย่อภาษาไทย	๕
บทคัดย่อภาษาอังกฤษ	๖
กิจกรรมประจำ	๗
สารบัญตาราง	๘
สารบัญภาพ	๙
คำอธิบายสัญลักษณ์	๑๐
บทที่	
 1. บทนำ	๑
1.1 ที่มาและความสำคัญของนักษา	๑
1.2 การสำรวจงานวิจัยที่ทำมาแล้ว	๒
1.3 วัสดุประสงค์ในการวิจัย	๕
1.4 ขอบเขตและเงื่อนไขในการวิจัย	๕
2. ทฤษฎีการวัดค่าการปล่อยออกรังสีความร้อน	๗
3. การออกแบบและสร้างเครื่องมือวัดค่าการปล่อยออกรังสีความร้อน	๑๕
3.1 การออกแบบ	๑๕
3.2 การตรวจสอบ เครื่องมือวัดค่าการปล่อยออกรังสีความร้อน	๕๓
4. การทดลอง	๖๐
4.1 จุดประสงค์การทดลอง	๖๐
4.2 อุปกรณ์การทดลอง	๖๐
4.3 วิธีการทดลอง	๖๖
4.4 การทดสอบเครื่องมือวัดค่าการปล่อยออกรังสีความร้อนที่สร้างขึ้น	๗๗
4.5 ตัวอย่างการคำนวณหาค่าการปล่อยออกรังสีความร้อนซึ่งได้ข้อมูลจากการทดสอบเครื่องมือที่สร้างขึ้น	๘๑

หน้า

4.6 เปรียบเทียบค่าการปล่อยออกซิเจนสีความร้อนระหว่างคำที่ได้ จากเครื่องมือของต่างประเทศกับเครื่องมือที่สร้างขึ้น	83
5. ผลการทดลอง	85
5.1 ผลการทดลอง	85
5.2 ผลการทดลองจากเครื่องมือวัดค่าการปล่อยออกซิเจนสีความ ร้อนของต่างประเทศ	85
5.3 การคำนวณหาค่าการปล่อยออกซิเจนสีความร้อนจากผลการ ทดลอง	85
5.4 อภิปรายค่าการปล่อยออกซิเจนร้อน	107
5.5 ความผิดพลาดในการทดลอง	109
6. สรุปและขอเสนอแนะ	111
6.1 สรุป	111
6.2 ข้อเสนอแนะ	111
เอกสารอ้างอิง	113
ภาคผนวก	114
ประวัติผู้เขียน	122

สารบัญตารางประกอบ

ตารางที่	หน้า
3.1 แสดงผลการทดสอบวัดอุณหภูมิแผ่นทองแดงที่ติดแน่นทึ่งๆ	55
3.2 แสดงผลการเปรียบเทียบอุณหภูมิระหว่างชั้นงานทดลองกับ แผ่นอลูมิเนียม .	56
3.3 แสดงผลการทดสอบวัดอุณหภูมิภาคทองแดง	58
4.1 แสดงข้อมูลที่ได้จากการทดลองสำหรับชั้นงานทดลองชนิด ทึ่งๆที่อุณหภูมิ 60 องศาเซลเซียส.	78
4.2 แสดงผลการคำนวณผลลัพธ์ไฟฟ้าที่จำเพาะกับแผ่นอลูมิเนียม ด้วยข้อมูลจากตารางที่ 4.1	79
4.3 แสดงผลการคำนวณค่าการปล่อยออกซิเจนสีขาวร้อนจากตาราง ที่ 4.1 และ 4.2.	80
5.1 แสดงค่าการปล่อยออกซิเจนสีขาวร้อนที่ได้จากการทดลองเครื่อง มือวัดค่าการปล่อยออกซิเจนสีขาวร้อนจากค่าคงปะเทศที่อุณหภูมิ 60 องศาเซลเซียส	86
5.2 แสดงข้อมูลที่ได้จากการทดลองของวัสดุเหล็ก	87
5.3 แสดงข้อมูลที่ได้จากการทดลองของวัสดุทองแดง	88
5.4 แสดงข้อมูลที่ได้จากการทดลองของวัสดุอลูมิเนียม	89
5.5 แสดงข้อมูลที่ได้จากการทดลองของวัสดุเหล็กเคลือบพิวสีดำ	90
5.6 แสดงข้อมูลที่ได้จากการทดลองของวัสดุทองแดงเคลือบพิวสีดำ	91
5.7 แสดงข้อมูลที่ได้จากการทดลองของวัสดุอลูมิเนียมเคลือบพิวสีดำ	92
5.8 แสดงผลการคำนวณผลลัพธ์ไฟฟ้าที่จำเพาะกับแผ่นอลูมิเนียม ด้วยข้อมูลจากตารางที่ 5.2.	93
5.9 แสดงผลการคำนวณผลลัพธ์ไฟฟ้าที่จำเพาะกับแผ่นอลูมิเนียม ด้วยข้อมูลจากตารางที่ 5.3	94
5.10 แสดงผลการคำนวณผลลัพธ์ไฟฟ้าที่จำเพาะกับแผ่นอลูมิเนียม ด้วยข้อมูลจากตารางที่ 5.4.	95

ตารางที่		หน้า
5.11	แสดงผลการคำนวณพลังงานไฟฟ้าที่จำายให้กับแผ่นอลูมิเนียม	96
ด้วยข้อมูลจากตารางที่ 5.5		96
5.12	แสดงผลการคำนวณพลังงานไฟฟ้าที่จำายให้กับแผ่นอลูมิเนียม	
ด้วยข้อมูลจากตารางที่ 5.6		97
5.13	แสดงผลการคำนวณพลังงานไฟฟ้าที่จำายให้กับแผ่นอลูมิเนียม	
ด้วยข้อมูลจากตารางที่ 5.7		98
5.14	แสดงผลการคำนวณค่าการปล่อยออกซิงส์ความร้อนจากตาราง ที่ 5.2 และ 5.8	99
5.15	แสดงผลการคำนวณค่าการปล่อยออกซิงส์ความร้อนจากตาราง ที่ 5.3 และ 5.9	100
5.16	แสดงผลการคำนวณค่าการปล่อยออกซิงส์ความร้อนจากตาราง ที่ 5.4 และ 5.10	101
5.17	แสดงผลการคำนวณค่าการปล่อยออกซิงส์ความร้อนจากตาราง ที่ 5.5 และ 5.11	102
5.18	แสดงผลการคำนวณค่าการปล่อยออกซิงส์ความร้อนจากตาราง ที่ 5.6 และ 5.12	103
5.19	แสดงผลการคำนวณค่าการปล่อยออกซิงส์ความร้อนจากตาราง ที่ 5.7 และ 5.13	104
ก-1	Normal Total Emissivity of Metal Surface	115
ข-1	แสดงการคำนวณค่าการปล่อยออกซิงส์ความร้อนของวัสดุต่างๆ ที่อุณหภูมิ 60 องศาเซลเซียสจากข้อมูลในตารางที่ 4.1-4.3	117
ค-1	แสดงข้อมูลระหว่างการทดลองของวัสดุทองแดงที่อุณหภูมิ 60 องศาเซลเซียส	119

สารบัญประกอบ

รูปที่

หน้า

1.1 แสดงวิธีการของเครื่องมือวัดค่าการปล่อยออกซิงส์ความร้อน ตามมาตรฐาน JIS 1423 - 1983	3
1.2 แสดงวิธีการของเครื่องมือวัดค่าการปล่อยออกซิงส์ความร้อน โดยวิธี Thermopile Radiometer	4
2.1 แสดงเน็ตเวอร์คของกำลังส่องออกที่ออกจากวัสดุต่าง	11
2.2 แสดงเน็ตเวอร์คของการแลกเปลี่ยนความร้อนระหว่างพิวท์พิว .	11
2.3 แสดงเน็ตเวอร์คของการแลกเปลี่ยนความร้อนระหว่างพิวท์พิว .	12
3.1 แสดงรูปร่างภายนอกและขนาดของฝาครอบรูปครึ่งทรงกลม .	18
3.2 แสดงรูปร่างและขนาดของกล่องโลหะรูปทรงกระบอกกลม .	19
3.3 แสดงขนาดและรูปร่างของชิ้นงานทดลอง	20
3.4 แสดงส่วนประกอบของเครื่องมือวัดค่าการปล่อยออกซิงส์ความร้อน ที่สร้างขึ้น	22-25
3.5 แสดงสักษณะการผลิตฝาครอบรูปครึ่งทรงกลม	28
3.6 แสดงรูปร่างของกล่องโลหะรูปทรงกระบอกกลม	30
3.7 แสดงการต่อท่อถูกอากาศเข้ากับด้านข้างของกล่องโลหะรูปทรง กระบอกกลม	31
3.8 แสดงรูปร่างภายนอกของ Service Valve Scharader Type	31
3.9 แสดงการต่อท่อสำหรับใส่สายไฟเข้ากับผนังด้านข้างของกล่อง โลหะรูปทรงกระบอกกลม	32
3.10 แสดงสักษณะการใส่สายไฟและอุปกรณ์ชิลโคนของท่อเหล็ก .	32
3.11 แสดงการต่อท่อสำหรับใส่สายวัดอุณหภูมิเข้ากับผนังด้านข้าง กล่องโลหะรูปทรงกระบอกกลม	34
3.12 แสดงลักษณะของบล็อก เทฟлонชีส์ใช้ต่อ กับข้อต่อตรงขนาด 3/4"	34

รูปที่

หน้า

3.13 แสดงลักษณะการใส่สายรัดอุณหภูมิผ่านผังด้านข้างกล่องโลหะ	
รูปทรงกระบวนการ	35
3.14 แสดงรูปร่างและตำแหน่งของหยดเหล็กที่เชื่อมจากด้านหลังของ	
หน้าจานกล่องโลหะ	37
3.15 แสดงลักษณะการพันเส้นลวดความร้อนบนแกนไม้ก้าและส่วน	
ประกายของอุปกรณ์ทำความร้อน	38
3.16 แสดงรูปร่างและขนาดของอุปกรณ์ทำความร้อนอันที่จ่ายความ	
ร้อนให้กับชื้นงานทดลอง	39
3.17 แสดงส่วนประกายของอุปกรณ์ทำความร้อน	40
3.18 แสดงรูปร่างและขนาดของฉนวนแอสเบสไทย	42
3.19 แสดงรูปร่างและขนาดของคาดทองแดง	43
3.20 แสดงขนาดและรูปร่างของฉนวน เบเกอร์	44
3.21 แสดงขนาดและรูปร่างของอลูมิ เนียมฟอยล์และแผ่นอลูมิเนียม	45
3.22 แสดงรูปร่างและขนาดของอุปกรณ์ที่ทำความร้อนส่วนนอก	46
3.23 แสดงรูปร่างและขนาดของแท่งฉนวนแอสเบสไทย	47
3.24 แสดงรูปร่างและขนาดของแผ่นฉนวนแอสเบสไทย	48
3.25 แสดงรูปร่างและขนาดของฐานรอง	50-51
3.26 แสดงลักษณะของแท่งทองแดงที่ใช้กับชื้นงานทดลอง	49
3.27 แสดงรูปร่างและขนาดของฉนวนแอสเบสไทยกลม	52
3.28 แสดงตำแหน่งที่รัดอุณหภูมิแผ่นทองแดง	54
3.29 แสดงการต่อวงจรไฟฟ้า เพื่อทดสอบอุณหภูมิตำแหน่งต่างๆ บน	
แผ่นทองแดงอันบน	54
3.30 แสดงรูปร่างของชื้นงานทดลองซึ่งต้องวางบนแผ่นทองแดง และ	
แสดงตำแหน่งของเทอร์โมคัพเบิล	56
3.31 แสดงตำแหน่งของเทอร์โมคัพเบิลที่ติดกับคาดทองแดง	57
3.32 แสดงตำแหน่งของเทอร์โมคัพเบิลที่ติดกับศิวภัยในของฝาครอบ	
รูปครึ่งทรงกลม	58

4.1	รูปถ่ายแสดงส่วนประกอบของเครื่องมือวัดค่าการปล่อยออกรังสีความร้อนของต่างประเทศ	62
4.2	รูปถ่ายแสดงรูปร่างของหม้อแปลงแรงดันไฟฟ้าชนิดปรับค่าได้	62
4.3	รูปถ่ายแสดงรูปร่างของอุปกรณ์ควบคุมอุณหภูมิ	63
4.4	รูปถ่ายแสดงรูปร่างของอุปกรณ์ปรับพัสดุงงานไฟฟ้า	63
4.5	รูปถ่ายแสดงรูปร่างของ Digital Thermometer	64
4.6	รูปถ่ายแสดงรูปร่างของ Digital Multimeter	64
4.7	แสดงวงจรควบคุมความร้อน	67-68
4.8	แสดงคำแนะนำเทอร์โมคัพเปลี่ยนชื้นงานทดลอง	69
4.9	แสดงคำแนะนำเทอร์โมคัพเปลี่ยนคาดทองแดง	69
4.10	แสดงคำแนะนำเทอร์โมคัพเปลี่ยนแผ่นทองแดงอันล่าง	70
4.11	แสดงคำแนะนำเทอร์โมคัพเปลี่ยนผิวค้านในของภาครอบรูปครึ่งทรงกลม	70
4.12	แสดงคำแนะนำเทอร์โมคัพเปลี่ยนแผ่นอลูมิเนียม	71
4.13	แสดงคำแนะนำเทอร์โมคัพเปลี่ยนผิวค้านล่างของฉนวนแอสเบสโลหะ .	71
4.14	แสดงส่วนประกอบของ Refrigeration Gauge Set	74
4.15	แสดงระบบการไหลของน้ำเพื่อใช้ควบคุมอุณหภูมิภาครอบรูปครึ่งทรงกลมให้มีอุณหภูมิคงที่	76
4.16	แสดงชิ้นส่วนของเครื่องมือที่สร้างขึ้นที่มีการแลกเปลี่ยนความร้อน	77
C-1	แสดงความสัมพันธ์ระหว่างพัสดุงงานไฟฟ้ากับเวลาในระหว่างการทดลองของรัศมุกളองแดงที่อุณหภูมิ ๖๐ องศาเซลเซียส	120
C-2	แสดงความสัมพันธ์ระหว่างอุณหภูมิกับเวลาในระหว่างการทดลองของรัศมุกളองแดงที่อุณหภูมิ ๖๐ องศาเซลเซียส	121

รายการสัญลักษณ์

A	พื้นที่ผิวของวัสดุ, m^2
A_1	พื้นที่ผิวของชิ้นงานทดลอง, m^2
A_2	พื้นที่ผิวของวัสดุรูปครึ่งทรงกลม, m^2
e	กำลังส่งออกทั้งหมดของวัสดุ, $วัตต์/m^2$
e_b	กำลังส่งออกทั้งหมดของวัสดุคำ, $วัตต์/m^2$
E	Modulus of elasticity, นิวตัน/ m^2
F	เชฟแฟคเตอร์
F_{12}	เชฟแฟคเตอร์จากผิว 1 ไปผิว 2
G	ผลักดันความร้อนของการแผ่รังสีความร้อนที่ต่อกันบนผิว
h	ความหนาของวัสดุ, m.
J	ผลักดันความร้อนของการแผ่รังสีความร้อนที่ออกจากผิว
N	ค่าความปลดภัย
P	ความดันที่กระทำต่อภายในอุกอาจของวัสดุรูปครึ่งทรงกลม, นิวตัน/ m^2
Ω	ค่าแลกเปลี่ยนพัฒนาความร้อน, $วัตต์$
Ω_{net}	ความร้อนที่ส่งออกจากชิ้นงานทดลองไปยังวัสดุรูปครึ่งทรงกลม, $วัตต์$
r	รัศมีของวัสดุรูปครึ่งทรงกลม, m.
R	ความด้านทานของแผ่นกันรังสีความร้อนทั้งหมด
T	อุณหภูมิสัมบูรณ์, เคลวิน
T_1	อุณหภูมิสัมบูรณ์ของชิ้นงานทดลอง, เคลวิน
T_2	อุณหภูมิสัมบูรณ์ของวัสดุรูปครึ่งทรงกลม, เคลวิน
Σ	ค่าการปล่อยออกรังสีความร้อน
Σ_1	ค่าการปล่อยออกรังสีความร้อนของชิ้นงานทดลอง
Σ_2	ค่าการปล่อยออกรังสีความร้อนของวัสดุรูปครึ่งทรงกลม
ζ	ค่าคงที่ของสเตเฟน - บอลซ์مان, $วัตต์/m^2$ - เคลวิน
ζ_{yp}	Yield Stress of Materials, นิวตัน/ m^2